



# Introducing a High-Capacity Steganography Technique for Simultaneous Hide of Multiple Images

Zeinab Torabi <sup>1</sup>, Seyyed Vahhab Shojaeddini <sup>2</sup>

<sup>1</sup> Master of Computer Engineering, Alzahra University, Tehran, Iran  
ztorabi08@gmail.com

<sup>2</sup> Associate Professor in Biomedical Engineering, Iran Research Organization for Science and Technology (IROST),  
Tehran, Iran  
shojadini@irost.ir

## Abstract

The growth of information and communications technology and consequently need to secure data transfer has made steganography as an attractive and essential issue in recent years. Steganography techniques try to hide the original message in other forms of data, the most common of them are digital images. Although the methods based on Least Significant Bit (i.e. LSB) are widely used as the basis for many steganography algorithms in spatial domain, but some challenges such as limited capacity and efficiency may hamper the usability of these methods. This paper presents a modified version of the LSB based methods which hides the original message by utilizing the concept of transferring to even quantities in host image. Implementation and testing of the proposed method shows that this scheme may significantly increase the signal-to-noise ratio of the hiding procedure as well as the structural similarity compared to alternative methods.

**Keywords:** Steganography, Least Significant Bit Method, Peak Signal To Noise Ratio, Embedding Capacity.



## ارایه یک روش پنهان نگاری با ظرفیت بالا به منظور مخفی سازی همزمان چندین تصویر

زینب ترابی<sup>۱</sup>، سید وهاب شجاع الدینی<sup>۲</sup>

<sup>۱</sup> دانشجوی کارشناسی ارشد مهندسی کامپیوتر، دانشگاه الزهراء، تهران، ایران  
ztorabi08@gmail.com

<sup>۲</sup> دانشیار مهندسی برق، سازمان پژوهش‌های علمی و صنعتی ایران، تهران، ایران  
shojadini@irost.ir

### چکیده

رشد روزافزون فناوری اطلاعات و ارتباطات و لزوم انتقال امن داده‌ها، پنهان‌نگاری را به عنوان موضوعی جذاب و ضروری در سالین اخیر مطرح نموده است. در فرآیند پنهان‌نگاری عمدتاً یک داده را در دیگر شکل‌های داده، مثل فایل‌های عکس یا متن مخفی می‌کنند که از معروف‌ترین آن‌ها بکارگیری تصاویر گرافیکی به عنوان مکان‌هایی برای انجام چنین اختفایی می‌باشد. اگر چه روش‌های مبتنی بر کم ارزش ترین بیت بعنوان مبنایی برای بسیاری از الگوریتم‌های پنهان‌نگاری در حوزه فضایی استفاده می‌شوند؛ ولیکن چالش‌هایی مانند ظرفیت و کارایی عواملی بوده‌اند که عملکرد این روش‌ها را با محدودیت مواجه نموده‌اند. در این مقاله نسخه اصلاح شده‌ای از روش‌های مبتنی بر کم ارزش ترین بیت ارایه می‌شود که اساس کار آن بر زوج سازی میزبان به منظور انجام اختفا استوار است. پیاده سازی و آزمون روش پیشنهادی حاکی از آن است که این روش نسبت به پیشینه سیگنال به نویز و همچنین شباهت ساختاری را نسبت به روش‌های رقیب خود به اندازه قابل توجهی افزایش می‌دهد.

### کلمات کلیدی

پنهان‌نگاری، روش کم ارزش ترین بیت، نسبت به پیشینه سیگنال به نویز، ظرفیت جاسازی

### ۱- مقدمه

می‌باشد. رسانه می‌تواند هر قالبی اعم از متن، صوت، تصویر و یا فیلم داشته باشد. پیام سری، در رسانه ی میزبان با الگوریتم مناسب گنجانده شده و فایل پنهان‌نگاری شده ی حاصل به فرستنده ارسال می‌گردد [۲]. در هر سیستم پنهان نگاری، سه عامل ظرفیت جاسازی، کشف ناشدنی بودن و مقاومت در برابر حملات از مهم ترین معیارهای سنجش کیفیت به شمار می‌آیند [۳]. ظرفیت جاسازی مقدار اطلاعات سری است که می‌تواند درون رسانه میزبان جاسازی شود. بدین ترتیب، الگوریتمی ظرفیت بالاتری دارد که توانایی بیشتری برای گنجاندن اطلاعات سری داشته باشد. از سوی دیگر، کشف ناشدنی بودن عبارت است از این که اطلاعات سری به گونه ای درون میزبان پنهان باشد که تصادفاً توسط کسی دیده نشود والا پنهان نگاری با شکست مواجه می‌شود [۴]. با توجه به

دنیای امروز، عصر فن آوری اطلاعات می‌باشد و بر این اساس توسعه اینترنت و پیشرفت سیستم‌های مخابراتی و کامپیوتری و نرم افزارهای پردازش تصویر، صوت و ویدئو باعث شده است که اطلاعات براهتی و با هزینه ای کم بر روی شبکه انتقال داده شوند. یکی از موضوعات مهم در بحث انتقال اطلاعات دیجیتال، امنیت اطلاعات می‌باشد. برای برقراری یک ارتباط امن، دو روش کلی وجود دارد. روش اول موضوع علم رمزنگاری و روش دوم موضوع علم پنهان نگاری است که شاخه‌ای از علم اختفا اطلاعات می‌باشد [۱]. عملیات پنهان‌نگاری از دو بخش اساسی تشکیل شده است: بخش اول فشرده سازی یا جاسازی و بخش دوم استخراج داده



میزبان، اطلاعات فرکانس بالا و پایین هر پیکسل جدا می‌شوند. سپس بیت‌های سری در سه مولفه‌ی فرکانس بالاتر پنهان می‌شوند. بنابراین تاثیرات بر روی میزبان به حداقل می‌رسند. اما این روش ظرفیت کمی دارد. در [۱۸] ابتدا تبدیل موجک بر روی میزبان و پیام انجام شده، سپس با استفاده از تبدیل‌های فوریه و SVD<sup>۱</sup>، عمل پنهان‌نگاری انجام می‌شود. این روش از لحاظ کشف ناشدنی بودن وضعیت بهتری دارد، اما نسبت به حملات بسیار حساس می‌باشد. در [۱۹] نیز از تبدیل فوریه برای جاسازی داده سری استفاده شده است. در این روش با استفاده از فشرده سازی LZW<sup>۱</sup> و کدک بخش بندی در درختان سلسله مراتبی (SPIHT<sup>۱</sup>) و تکنیک فاز وقتی اصلاح (APM<sup>۱</sup>) به بهبود ویژگی کشف ناشدنی بودن کمک شده است.

در این مقاله روشی جدید به منظور افزایش ظرفیت در سیستم‌های پنهان نگار ارائه می‌شود؛ که اساس آن بر زوج سازی میزبان استوار است. در این روش پس از زوج سازی ماتریس میزبان با کاهش یک واحدی درایه‌های فرد، مقادیر باینری تصاویر سری را به این درایه‌ها اضافه می‌نماییم. بنابراین رخداد سه حالت محتمل می‌باشد؛ ممکن است یک درایه میزبان که قبل از زوج سازی فرد بوده است، با افزایش یافتن یک واحدی ناشی از یک باینری پیام سری، به حالت اولیه بازگردد، که موجب افزایش اندک PSNR<sup>۱۳</sup> تصویر پنهان نگاری شده می‌شود. امکان محتمل‌تر، زوج ماندن یک درایه‌ی فرد و یا فرد شدن یک درایه‌ی زوج می‌باشد؛ که این حالات موجب کاهش PSNR می‌شوند. باین حال مقادیر این تغییر بسیار اندک و در بدترین حالت تغییر یک واحدی همه مقادیر ماتریس تصویر پنهان‌نگاری شده می‌باشد. این عمل سبب می‌شود PSNR تصویر پنهان‌نگاری شده نسبت به میزبان، با افزایش میزان بیت‌های پیام سری، تقریباً ثابت بماند. در حالی که در روش LSB با افزایش میزان بیت‌های پیام سری، میزان PSNR به شدت کاهش می‌یابد و به میزان داده بسیار حساس می‌باشد. در روش پیشنهادی با افزودن داده به میزبان، شباهت تصویر پنهان نگاری شده به میزبان، نه تنها کاهش محسوسی نمی‌یابد، بلکه ممکن است افزایش نیز پیدا کند. همچنین روش فوق، قابلیت پنهان نمودن چندین تصویر پیام در میزبان را نیز دارا می‌باشد.

ساختار این مقاله بدین صورت می‌باشد: در بخش دوم، روش مورد نظر برای پنهان نگاری به همراه مراحل مختلف آن تشریح می‌گردند. در بخش سوم، روش مزبور بر روی تصاویر مختلف مرجع آزموده شده و نتایج به دست آمده از آن ارزیابی شده و بر این اساس عملکرد آن با روش‌های موجود مقایسه می‌گردد. در نهایت بخش پایانی مقاله نیز به نتیجه‌گیری اختصاص دارد.

نیاز روزافزون به محافظت از داده‌های ابری و اطلاعات موجود در شبکه اینترنت در برابر مهاجمان، هرگونه بهبودی در پارامترهای مذکور منجر به یک ارتقای قابل توجه در فرآیند پردازش داده‌های بزرگ و انتقال اطلاعات گردد.

روش‌های مبتنی بر کم ارزش ترین بیت<sup>۱</sup>، عملاً بعنوان مبنایی برای طیف وسیعی از الگوریتم‌های معمول پنهان نگاری حوزه فضایی<sup>۲</sup> استفاده می‌شوند [۵]. در تصاویر دیجیتال هر پیکسل تصویر از سه بایت تشکیل شده است، که میزان رنگ‌های قرمز، سبز و آبی آن تصویر را نشان می‌دهند. الگوریتم n-bit LSB تعداد n بیت با اهمیت کم‌تر از تصویر میزبان را، با بااهمیت‌ترین n بیت پیام جایگزین می‌نماید. با استفاده از این روش تغییرات رنگ میزبان (پس از جاسازی پیام) به حداقل می‌رسد. مراحل استخراج پیام نیز با خواندن کم اهمیت ترین n بیت و انجام شیفت بیتی، به آسانی صورت می‌گیرد. با وجود آنکه اعوجاج ناشی از این کار قابل تشخیص با چشم نیست، این روش در برابر حملات پنهان شکنی بسیار آسیب پذیر می‌باشد [۶]، چراکه تحلیل‌های آماری براحتی می‌تواند الگوی پیکسل‌های تغییر یافته را تشخیص دهد.

بر این اساس تا کنون پژوهش‌های مختلفی به منظور افزایش ظرفیت در سیستم‌های پنهان نگار مبتنی بر ایده فوق، صورت پذیرفته است. در پاره‌ای از پژوهش‌ها، برای غلبه بر محدودیت‌های روش LSB، روش‌های HRVSS<sup>۲</sup> مختلف [۷] و [۸] استفاده شده‌اند که به نوعی از رفتار بیولوژیکی چشم‌های انسان برای پنهان نمودن یک تصویر سیاه و سفید در یک تصویر رنگی بهره می‌برند. در این روش‌ها ابتدا تصاویر میزبان و پیام به رمز در آورده شده، سپس تصویر رمزی میزبان از حالت نمایش رنگ RGB<sup>۴</sup> به HSV<sup>۴</sup> تبدیل می‌گردد. در نهایت تصویر رمزی پیام در شدت رنگ میزبان گنجانده می‌شود. باین حال این روش‌ها در برابر فشرده‌سازی و اعوجاج بسیار حساس می‌باشند.

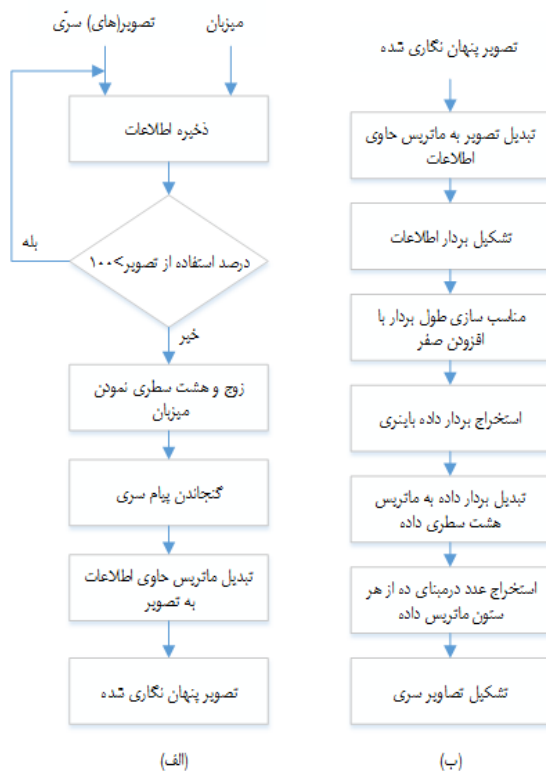
کارهای بسیاری از جداسازی پیچیدگی صفحه بیتی<sup>۶</sup> در هر یک از دو حوزه‌ی فضایی و تبدیل<sup>۷</sup> استفاده می‌کنند [۹،۱۰،۱۱]. در این روش‌ها ابتدا صفحه بیتی تصویر میزبان را با یک معیار مناسب به دو قسمت ساده و پیچیده تقسیم می‌کنند و سپس پیام را در قسمت پیچیده پنهان می‌نمایند. با این وجود کاهش کیفیت تصاویر پنهان‌نگاری شده با این روش‌ها قابل توجه است. سایر الگوریتم‌ها [۱۲،۱۳،۱۴،۱۵] پیام سری را در حوزه DCT<sup>۸</sup> و با تغییر مولفه‌های DCT، جاسازی می‌کنند. اما از آنجا که بسیاری از ضرایب DCT برابر با صفر می‌باشند، تبدیل مقادیر زیادی صفر به غیر صفر، موجب اعوجاج زیاد در میزبان می‌شود. بنابراین حوزه DCT نسبت به حوزه فضایی، ظرفیت بسیار کم‌تری دارد [۱۶]. استفاده از تبدیل موجک نیز ایده تعدادی از روش‌های پنهان نگاری در حوزه فرکانس می‌باشد. در [۱۷] با استفاده از تبدیل موجک



این مقدار را بر تعداد پیکسل‌های میزبان تقسیم نموده و درصد آن را برآورد می‌نماییم. در رابطه (۱)  $a, b, c, m, n$  و  $l$  به ترتیب طول، عرض و تعداد کانال‌های میزبان و تصاویر پیام و  $k$  تعداد تصاویر پیام را نشان می‌دهند.

$$\text{Limit} = \frac{800 * (\sum_{i=1}^k m_i * n_i * l_i) + 4 * k + 1}{a * b * c} \quad (1)$$

دلیل اضافه نمودن ترم  $4k+1$  به مجموع پیکسل‌های پیام، وجود اطلاعات افزونه‌ی تعداد و اندازه‌ی تصاویر پیام می‌باشد. از آنجا که الگوریتم پیشنهادی توانایی تعبیه نمودن همزمان چندین تصویر پیام در پوشه را داراست، باید تعداد این تصاویر را در میزبان تعبیه نمود. برای انجام این کار یک بایت از میزبان را استفاده خواهیم نمود. همچنین به دلیل آنکه هر یک از تصاویر پیام می‌تواند اندازه‌ی متفاوتی را داشته باشد، برای هر تصویر پیام یک ماتریس با ابعاد هشت در چهار تعریف می‌کنیم که سه تا از ستون‌های آن به صورت مجزا، نمایانگر مقدار باینری طول، عرض و کانال پیام به میزان سه بایت و ستون آخر برای جدا نمودن پیام‌ها از یکدیگر و عدم تداخل آن‌ها به صورت تمام صفر در نظر گرفته شده است.



شکل (۱): طرح پیشنهادی. (الف) جاسازی داده. (ب) استخراج داده.

## ۲- تشریح پیشنهادی

روش پیشنهادی این مقاله، تصویر میزبان و تصاویری که قرار است در آن جاسازی شوند را به عنوان ورودی گرفته و عملیاتی را در سطح پیکسل‌ها انجام می‌دهد تا تصویر جاسازی شده در میزبان را ایجاد نماید. برای جاسازی در حوزه فضایی از ایده‌ای مشابه با پنهان سازی LSB، اما هوشمندانه‌تر استفاده شده است. در این روش اطلاعات تعداد، ابعاد و محتوای پیکسل‌های سری، پس از مرتب و باینری شدن، با مقادیر زوج شده‌ی پیکسل‌های میزبان جمع می‌شوند. در این مدل ابعاد تصویر میزبان باید حتماً بزرگتر از همه‌ی تصاویر پیام باشد؛ تا بتواند آن‌ها را در خود جای دهد. شکل (۱) مراحل انجام روش پیشنهادی را نشان می‌دهد. در فاز جاسازی، در صورتی که ابعاد تصاویر میزبان و پیام مناسب باشد و میزبان گنجایش تمامی تصاویر سری را داشته باشد، به ترتیب اطلاعات تعداد، ابعاد و مقادیر باینری شده‌ی پیکسل‌های پیام با روشی مشابه با روش رایج کم اهمیت ترین بیت، در میزبان زوج شده ذخیره می‌شود؛ در غیر این صورت کاربر بایستی تصاویر ورودی به الگوریتم را اصلاح نماید. این روش ذخیره (که همان جمع بیت‌های پیام با میزبان به روشی که در ادامه توضیح داده خواهد شد، می‌باشد)، سبب می‌شود که شباهت بین تصویر پنهان نگاری شده و میزبان حفظ شود و عملیات پنهان شکنی<sup>۱۴</sup> با چالش روبرو گردد. در مرحله استخراج تصویر نیز، اطلاعات ذخیره شده بر روی تصویر را به همان ترتیبی که در فاز جاسازی، ذخیره شده‌اند، استخراج گردیده و به صورت تصاویر جداگانه ذخیره می‌شوند.

## ۲-۱ جاسازی پیام در تصویر میزبان

الگوریتم پنهان سازی تصویر در روش پیشنهادی به صورت زیر می‌باشد:

**الف.** ابتدا تصاویر میزبان و تمامی تصاویر پیام از ورودی دریافت گردیده، به صورت ماتریس‌های عددی نگه داری می‌شوند. سپس برای ذخیره اندازه یا طول، عرض و تعداد کانال‌های هر تصویر پیام به صورت جداگانه، از متغیری استفاده می‌کنیم که تعداد سطور آن برابر با تعداد تصاویر پیام، و برای هر سطر پیام، سه بعد طول، عرض و کانال تعریف می‌شوند.

**ب.** درصد استفاده شده‌ی تصویر را محاسبه می‌کنیم و در صورتی که بیشتر از حد مشخصی (در این جا ۱۰۰) باشد، از برنامه خارج شده و در غیر این صورت به مرحله بعد می‌رویم. برای محاسبه‌ی درصد میزبان استفاده از تصویر میزبان، ابتدا مجموع تعداد پیکسل‌های همه تصاویر سری را با اطلاعات تعداد و اندازه تصاویر تجمیع نموده و آن‌ها را هشت برابر می‌کنیم؛ چرا که برای گنجاندن هر یک از درایه‌های ماتریس پیام، به یک بایت از میزبان، نیاز داریم. سپس



برای اضافه نمودن مقادیر پیکسل های پیام، هر درایه ماتریس پیام را به یک ستون هشت بیتی - که مقدار باینری آن درایه را نشان می دهد- تبدیل کرده و با ستونی از ماتریس میزبان اصلاح شده جمع می کنیم. در رابطه (۴)، B، Secret و Stego به ترتیب ماتریس های اطلاعات سری، میزبان اصلاح شده و پنهان نگاری شده می باشند.

$$\text{Stego} = B \oplus \text{Secret} \quad (4)$$

این جمع یک جمع ماتریسی ساده نمی باشد؛ چرا که تعداد ستون های اطلاعات با میزبان اصلاح یافته الزاما برابر نیست و عمل جمع به صورت ستون با ستون صورت می گیرد.

۵. در مرحله آخر صفرهای اضافه شده به انتهای ماتریس میزبان در مرحله سوم را حذف، و ماتریس پنهان نگاری شده را با ابعاد میزبان اولیه و در قالب مناسب، به صورت تصویر ذخیره می نماییم.

## ۲-۲- استخراج پیام

برای استخراج پیام های سری از تصویر پنهان نگاری شده ی ورودی، پس از تبدیل آن به ماتریس، اطلاعات تعداد تصاویر پنهان شده و سایز و مقادیر ماتریس های هر تصویر پیام به همان صورتی که جاسازی شده است، از تصویر پنهان نگاری شده استخراج شده و در قالب تصاویر جداگانه ذخیره می گردد. الگوریتم استخراج تصویر نیز به صورت زیر می باشد:

**الف.** ابتدا تصویر پنهان نگاری شده از ورودی دریافت، و به صورت یک ماتریس عددی ذخیره می شود.

**ب.** در این مرحله برای استخراج اطلاعات از تصویر، ماتریس تصویر به همان قالب حالت پنهان سازی بازگشته و با همان ترتیب پیام آشکار می شود. بدین منظور ابتدا تمامی درایه های ماتریس تصویر به صورت یک بردار اطلاعات در کنار هم قرار می گیرند.

**ج.** سپس طول این بردار با اضافه نمودن تعداد مناسبی صفر به انتهای بردار (همانند فاز پنهان سازی)، به برداری با طول بخش پذیر بر هشت تبدیل می نماییم.

**د.** در این مرحله باقی مانده ی تک تک درایه های بردار اطلاعات به دو را محاسبه می نماییم، تا یک بردار باینری حاصل شود. از آنجا که در فاز پنهان سازی، اطلاعات سری به شکل باینری به ماتریس زوج شده اضافه شده بود، این بردار باینری حاوی همان اطلاعات پیام (ها) می باشد.

**ه.** این بردار را به همان قالب هشت سطر تبدیل می نماییم تا اطلاعات را به همان ترتیب که گنجانده شده بودند، استخراج نماییم.

بنابراین جمعاً برای هر تصویر سری، چهار بایت اطلاعات به صورت یک ماتریس باینری دارای هشت سطر و چهار ستون را به مقادیر قبلی اضافه می نماییم. از این ماتریس ابعاد پیام که تعداد ستون های آن چهار برابر تعداد تصاویر پیام می باشد، در مراحل بعد نیز استفاده خواهد شد.

**ج.** در این مرحله برای گنجاندن اطلاعات در میزبان، باید اندازه این ماتریس را متناسب با اطلاعات هشت بیتی خود تغییر داده و مقادیر آن را زوج نماییم. بدین منظور ماتریس میزبان را به ماتریسی باینری تبدیل می کنیم که ستون های ۸ بیتی (۸ سطر) داشته باشد، بنابراین اگر ابعاد این ماتریس بر ۸ بخش پذیر نباشد، آن را با اضافه نمودن تعداد مناسبی صفر، به ابعاد بخش پذیر بر ۸ می رسانیم. در رابطه (۲)، که تعداد صفرهای اضافه شده به میزبان را نشان می دهد، mod نمایانگر باقی مانده ی تعداد پیکسل های تصویر میزبان بر ۸ می باشد.

$$\text{number\_of\_zeros} = \text{mod}((a * b * c), 8) \quad (2)$$

برای راحتی و سادگی رابطه می توان در صورتی که تعداد پیکسل های تصویر میزبان مضربی از ۸ می باشد نیز، ۸ صفر به آن اضافه کرد. همه ی صفرهای اضافه شده به ماتریس برای انجام پذیر نمودن عملیات تعبیه به کار گرفته شده اند و باید پس از گنجاندن پیام در میزبان، حذف شوند.

در نهایت می بایست برای انجام عملیات بعدی، ماتریس میزبان را به صورت بخش پذیر بر دو تغییر داد. با انجام این کار، هنگامی که میزبان زوج شده با ماتریس باینری پیام جمع شود، در نقاط غیر صفر پیام، میزبان اصلاح شده، فرد می شود و براحتی قابل تشخیص می باشد. استفاده از این شیوه ی نوآورانه ی شبه LSB، به جای روش LSB، سبب می شود که علاوه بر مزایای یک پنهان سازی مناسب، بتوانیم از ظرفیت بالقوه و بالای میزبان برای تعبیه استفاده نماییم. بنابراین در این روش تنها پیام باینری می شود و اعداد ماتریس میزبان فقط در صورتی که فرد باشند، به صورت زوج در خواهند آمد. برای این کار کافی است درایه های ماتریس تحت عمل ساده ریاضی ذیل قرار گیرند. در رابطه (۳)، A، ماتریس میزبان و Floor تابع رند کننده به کف (نزدیک ترین عدد صحیح کوچکتر یا مساوی) می باشد.

$$B = 2 * \text{Floor}\left(\frac{A}{2}\right) \quad (3)$$

**د.** در این مرحله عمل گنجاندن پیام سری در میزبان را انجام می دهیم. بدین منظور تنها کافی است ماتریس میزبان اصلاح شده را با ماتریس اطلاعات جمع کنیم. ستون اول ماتریس اطلاعات حاوی تعداد عکس ها، و ستون های بعدی آن به ترتیب شامل ماتریس ابعاد پیام و مقادیر شدت رنگ پیکسل های پیام می باشد.



تصویر می‌باشد. هنگامی که تصویر هشت بیتی باشد، این مقدار ۲۵۵ می‌باشد. در حالت کلی زمانی که تصویر با B بیت در نمونه مشخص می‌شود، این مقدار برابر با  $2^B - 1$  می‌باشد.

$$\text{PSNR} = 10 \cdot \log_{10} \left( \frac{\text{MAX}_I^2}{\text{MSE}} \right) = 20 \cdot \log_{10} \left( \frac{\text{MAX}_I}{\sqrt{\text{MSE}}} \right) = 20 \cdot \log_{10}(\text{MAX}_I) - 10 \cdot \log_{10}(\text{MSE}) \quad (7)$$

شکل (۲) نمونه ای از عملکرد روش پیشنهادی این مقاله را نشان می‌دهد.

به همین منوال در جدول (۱) ملاحظه می‌شود، ۵ تصویر با اندازه‌های متفاوت در تصویر میزبان با اندازه  $۹۷۳ * ۱۶۰۰$  تعبیه شده‌اند، اما PSNR کاهش چندانی نداشته است. حتی در بعضی موارد افزایش ناچیزی نیز داشته است. بنابراین برخلاف روش‌های کم اهمیت ترین بیت که میزان PSNR در آن‌ها با افزایش مقدار داده‌ی پیام سری به شدت کاهش می‌یابد، در روش پیشنهادی از



شکل (۲): تصاویر (الف) میزبان. (ب) پنهان نگاری شده

جدول (۱): اطلاعات تصاویر سری تعبیه شده در میزبان. ابعاد میزبان در تمامی آزمایشات  $۹۷۳ * ۱۶۰۰$  می‌باشد.

اطلاعات تصاویر سری و تصویر پنهان نگاری شده			تعداد تصاویر سری تعبیه شده در میزبان
درصد استفاده از تصویر پنهان نگاری شده	PSNR تصویر پنهان نگاری شده	ابعاد تصاویر سری	
۱۷.۳۶۵۷	۵۱.۲۲۲۱	۳۵۲*۲۸۸	۱
۲۵.۷۸۵۷	۵۱.۲۲۲۹	۳۵۲*۲۸۸ ۱۲۸*۱۲۸	۲
۳۶.۳۴۴۸	۵۱.۲۲۶۷	۳۵۲*۲۸۸ ۱۲۸*۱۲۸ ۱۵۹*۱۲۸	۳
۶۲.۰۳۹۹	۵۱.۲۱۲۴	۳۵۲*۲۸۸ ۱۲۸*۱۲۸ ۱۵۹*۱۲۸ ۲۶۷*۱۸۸	۴
۸۷.۹۳۹۹	۵۱.۱۷۶۷	۳۵۲*۲۸۸ ۱۲۸*۱۲۸ ۱۵۹*۱۲۸ ۲۶۷*۱۸۸ ۳۰۰*۱۶۸	۵

و. مطابق رابطه ذیل، تعداد تصاویر برابر با ستون اول این ماتریس در مینای ده می‌باشد. در رابطه (۵)، برای به مینای ده رساندن ماتریس اطلاعات، Num تعداد تصاویر و  $a_{i1}$  درایه‌های ستون اول ماتریس اطلاعات می‌باشند.

$$\text{Num} = a_{11} * 1 + a_{21} * 2^1 + a_{31} * 2^2 + a_{41} * 2^3 + \dots + a_{81} * 2^7 \quad (5)$$

ز. سپس در یک حلقه به تعداد تصاویر، برای هر تصویر چهار ستون بعدی ماتریس اطلاعات را در نظر می‌گیریم. سه ستون اول از چهار ستون ماتریس اطلاعات مربوط به ابعاد (طول، عرض و ارتفاع) تصویر مورد نظر و ستون آخر تمام صفر می‌باشد.

ح. پس از دستیابی به ابعاد تمامی تصاویر گنجانده شده، نوبت به استخراج مقادیر پیکسل‌های آن‌ها می‌رسد. بدین منظور در یک حلقه دیگر به تعداد تصاویر پنهان سازی شده، برای هر تصویر یک ماتریس صفر با ابعاد متناظر با آن تصویر ایجاد می‌کنیم. سپس برای پر کردن مقادیر شدت رنگ تصویر مربوطه به جای صفرها، در یک حلقه درونی به ابعاد هر تصویر، ستون‌های مناسب بعدی از ماتریس اطلاعات را مشابه قبل به مینای ده برده و به عنوان شدت رنگ RGB مکان‌های مناسب به جای صفرهای ماتریس تصویر قرار می‌گیرند. در نهایت از این حلقه خارج شده و ماتریس تصویر به دست آمده را با ابعاد متناظر آن و در قالب مناسب ذخیره نموده و از حلقه بیرونی نیز خارج می‌شویم.

### ۳- ارزیابی‌ها

برای ارزیابی کارایی روش پیشنهادی در مقایسه با روش‌های موجود شبیه سازی‌هایی بر بستر نرم افزار Matlab2018 و با بهره‌گیری از پردازشگر رایانه Intel core2 duo CPU 2.53GHz با رم 4GB انجام شد. مجموعه داده‌های مورد استفاده در این شبیه‌سازی‌ها تصاویر تصادفی وب بوده و محدودیتی برای تعداد کانال‌های (رنگی یا سیاه و سفید بودن) تصویر وجود ندارد. در اولین گونه از مقایسات به منظور آزمون میزان کشف‌ناشدنی بودن، PSNR تصویر پنهان‌نگاری شده محاسبه شد. PSNR توسط خطای میانگین مربعات ( $MSE^{15}$ ) شده و با فرض داشتن یک تصویر بدون نویز  $m * n$  به نام I و تقریب دارای اعوجاج آن با اسم K، خطای میانگین مربعات با رابطه (۶) تعریف می‌شود:

$$\text{MSE} = \frac{1}{mn} \sum_{i=0}^{m-1} \sum_{j=0}^{n-1} [I(i, j) - K(i, j)]^2 \quad (6)$$

بنابراین PSNR (با واحد دسی بل) با رابطه (۷) توصیف می‌شود. در رابطه (۷)،  $MAX_I$  بزرگ ترین مقدار احتمالی پیکسل



جدول (۲): مقایسه سنج‌های کیفیت بر روی جفت میزبان و تصویر پنهان نگاری شده با روش‌های گوناگون

جفت میزبان و تصویر پنهان نگاری شده				روش
RMSE	VIF	SSIM	PSNR	
۶.۵۹	۰.۶۱۴۵	۰.۶۲۸۷	۳۱.۸۸	4bit-LSB
۲.۸۳	۰.۸۰۳۸	۰.۷۷۳۵	۳۹.۹۵	HRVSS [۷]
۳.۰۵	۰.۷۷۵۹	۰.۷۷۹۶	۳۸.۹۷	Baluja [۵]
۰.۱۶۸۴	۰.۹۶۸	۰.۹۹۰۱	۵۱.۲۲	پیشنهادی

نسبی میزان PSNR تصویر پنهان نگاری شده نسبت به میزبان، افزایش داده موجب آشفتگی بیشتر در تصویر پنهان نگاری شده نمی‌شود. با وجود ظرفیت بالا و ثبات روش پیشنهادی در مواجهه با افزایش داده‌های سری، این روش ضعف روش‌های فضایی را که مقاومت پایین در برابر حملات گوناگون است را نیز دارا می‌باشد؛ و لذا اصلاحات آینده در این روش می‌تواند شامل استفاده از شبکه‌های عصبی عمیق و الگوریتم‌های تکاملی زیستی برای نیل به مقاومت بالاتر در آن، باشد.

## مراجع

- [1] Mstafa, Ramadhan J., and Khaled M. Elleithy. "Compressed and raw video steganography techniques: a comprehensive survey and analysis." *Multimedia Tools and Applications* 76.20 (2017): 21749-21786.
- [2] PrashantJohri, Amba Mishra, Sanjoy Das, Arun Kumar, "Survey on Steganography Methods (Text, Image, Audio, Video, Protocol and Network Steganography)" 2016 International Conference on Computing for Sustainable Global Development (INDIACom).
- [3] R. J. Mstafa and K. M. Elleithy, "A highly secure video steganography using Hamming code (7, 4)," in *Systems, Applications and Technology Conference (LISAT)*, 2014 IEEE Long Island, 2014, pp. 1-6.
- [4] Jenifer, J. & Ratna, S. & Loret, J.B. & Gethsy, D.. (2018). A Survey on Different Video Steganography Techniques. 627-632. 10.1109/ICOEI.2018.8553847.
- [5] Shumeet Baluja. 2017. Hiding Images in Plain Sight: Deep Steganography. In NIPS.
- [6] Daniel Lerch-Hostalot and David Megías. 2016. Unsupervised steganalysis based on artificial training sets. *Eng. Appl. of AI* 50 (2016), 45-59.
- [7] Mohamed Elsadig Eltahir, Miss Laiha Mat Kiah, Bilal Bahaa, and A Zaidan. 2009. High Rate Video Streaming Steganography. In ICIME.
- [8] Khan Muhammad, Muhammad Sajjad, Irfan Mehmood, Seungmin Rho, and Sung Wook Baik. 2018. Image steganography using uncorrelated color space and its application for security of visual contents in online social networks. *Future Generation Comp. Syst.* 86 (2018), 951-960.
- [9] Eiji Kawaguchi and Richard O Eason. 1999. Principles and applications of BPCS steganography. In *Multimedia Systems and Applications*, Vol. 3528.

این کاهش چشمگیر در PSNR خبری نیست و میزان آن تقریباً ثابت می‌ماند، یعنی می‌توان بدون نگرانی نسبت به کاهش PSNR، از بالاترین ظرفیت گنجایش داده در تصویر بهره برد.

جدول (۲) نیز مربوط به مقایسه جفت تصاویر میزبان-پنهان نگاری شده و تصاویر پیام قبل و بعد از استخراج می‌باشد.

در این جدول علاوه بر معیار PSNR، از معیارهای  $SSIM^{16}$  و  $VIF^{17}$  نیز برای ارزیابی کیفیت تصاویر استفاده شده است.  $SSIM$  بر روی پنجره‌های مختلفی از یک تصویر اعمال می‌شود. مقیاس  $SSIM$  برای دو پنجره  $x$  و  $y$  با ابعاد  $N \times N$  به با رابطه (۸) محاسبه می‌شود. در رابطه (۸)،  $\mu_x$  و  $\mu_y$  به ترتیب، میانگین و  $\sigma_x^2$  و  $\sigma_y^2$  واریانس پنجره‌های  $x$  و  $y$  می‌باشند.  $\sigma_{xy}$  نیز کواریانس پنجره‌های  $x$  و  $y$  بوده و  $c_1 = (k_1 L)^2$  و  $c_2 = (k_2 L)^2$  می‌باشند؛ که در آنها  $L$  پویایی مقادیر پیکسل‌ها بوده و با  $2^b - 1$  مشخص می‌شود و  $b$  تعداد بیت‌های نمایش‌دهنده‌ی یک پیکسل و همچنین  $k_1 = 0.01$  و  $k_2 = 0.03$  می‌باشند.

$$SSIM(x,y) = \frac{(2\mu_x\mu_y + c_1)(2\sigma_{xy} + c_2)}{(\mu_x^2 + \mu_y^2 + c_1)(\sigma_x^2 + \sigma_y^2 + c_2)} \quad (8)$$

مقیاس  $VIF$  نیز افزایش واریانس در مقایسه با یک پایه متعامد را اندازه می‌گیرد. در حقیقت  $VIF$  روشی برای نمایش متغیر خاص  $X_K$  توسط یک مدل خطی مبتنی بر همه متغیرهای مستقل پایه متعامد می‌باشد. اگر مدل محاسبه شده تناسب بالایی را برای متغیر آزمون  $X_K$  نشان دهد، احتمالاً با یک یا چند متغیر از متغیرهای پایه‌ها هم‌خط<sup>۱۸</sup> می‌باشد.  $VIF$  برای  $k$ -امین متغیر توسط رابطه (۹) توصیف می‌گردد. در رابطه (۹)،  $r_k^2$  معیار تناسب مدل خطی برای  $X_K$  بر مبنای سایر متغیرها می‌باشد.

$$VIF_k = \frac{1}{(1-r_k^2)} \quad (9)$$

ملاحظه می‌شود که روش پیشنهادی از روش‌های مورد مقایسه، عملکرد بهتری داشته است. میزان PSNR این روش از بهترین رقیب در جدول، به میزان حدوداً ۱۲ دسی بل بیشتر بوده است و همچنین  $SSIM$  و  $VIF$  آن نیز با مقداری بیش از ۰/۲ از این رقیبان بالاتر بوده است.

## ۴- نتیجه گیری

در این مقاله، روشی جدید برای پنهان نمودن چندین تصویر در یک میزبان معرفی شد. روش پیشنهادی بر مبنای اضافه نمودن مقادیر باینری پیام سری به میزبان زوج‌سازی شده استوار می‌باشد؛ که قابلیت مخفی‌سازی همزمان چندین تصویر در میزبان را داراست. این روش نسبت به روش‌های به‌روز حوزه فضایی و تبدیل رقیب مقایسه شده، از ظرفیت بالاتری برخوردار بوده و با توجه به ثبات



- 
- <sup>13</sup> Peak Signal to Noise Ratio (PSNR)  
<sup>14</sup> Stegano Analysis  
<sup>15</sup> Mean Square Error (MSE)  
<sup>16</sup> Structural SIMilarity (SSIM)  
<sup>17</sup> Variance Inflation Factor (VIF)  
<sup>18</sup> Colinear

- [10] GMK Ramani, EV Prasad, S Varadarajan, Tirupati SVUCE, and Kakinada JNTUCE. 2007. Steganography using BPCS to the integer wavelet transformed image. IJCSNS 7, 7 (2007), 293–302.
- [11] Jeremiah Spaulding, Hideki Noda, Mahdad N Shirazi, and Eiji Kawaguchi. 2002. BPCS steganography using EZW lossy compressed images. Pattern Recognition Letters 23, 13 (2002), 1579–1587.
- [12] J. J. Chae and B. S. Manjunath. 1999. Data hiding in video. In ICIP.
- [13] Blossom Kaur, Amandeep Kaur, and Jasdeep Singh. 2011. Steganographic approach for hiding image in DCT domain. International Journal of Advances in Engineering & Technology 1, 3 (2011), 72.
- [14] Amitava Nag, Sushanta Biswas, Debasree Sarkar, and Partha Pratim Sarkar. 2010. A novel technique for image steganography based on Block-DCT and Huffman Encoding. arXiv preprint arXiv:1006.1186 (2010).
- [15] Shun Zhang, Liang Yang, Xihao Xu, and Tiegang Gao. 2018. Secure Steganography in JPEG Images Based on Histogram Modification and Hyper Chaotic System. IJDCF 10, 1 (2018), 40–53.
- [16] Sahar A. El-Rahman. 2018. A comparative analysis of image steganography based on DCT algorithm and steganography tool to hide nuclear reactors confidential information. Computers & Electrical Engineering 70 (2018), 380–399.
- [17] S. Kamila, R. Roy and S. Changder, "A DWT based steganography scheme with image block partitioning," 2015 2nd International Conference on Signal Processing and Integrated Networks (SPIN), Noida, 2015, pp. 471-476.
- [18] S. K. Yadav and M. Dixit, "An improved image steganography based on 2-DWT-FFT-SVD on YCBCR color space," 2017 International Conference on Trends in Electronics and Informatics (ICEI), Tirunelveli, 2017, pp. 567-572.
- [19] A. S. Khashandarag and N. Ebrahimian, "A New Method for Color Image Steganography Using SPIHT and DFT, Sending with JPEG Format," 2009 International Conference on Computer Technology and Development, Kota Kinabalu, 2009, pp. 581-586.

## زیر نویس ها

- 
- <sup>1</sup> Least Significant Bit (LSB)  
<sup>2</sup> Spatial domain  
<sup>3</sup> High Rate Video Streaming Steganography (HRVSS)  
<sup>4</sup> Red, Green, and Blue (RGB)  
<sup>5</sup> Hue, Saturation, and Value (HSV)  
<sup>6</sup> Bit plane complexity segmentation  
<sup>7</sup> Transform domain  
<sup>8</sup> Discrete Cosine Transform (DCT)  
<sup>9</sup> Singular Value Decomposition (SVD)  
<sup>10</sup> Lempel–Ziv–Welch (LZW)  
<sup>11</sup> Set Partitioning In Hierarchical Trees (SPIHT)  
<sup>12</sup> Adaptive Phase Modulation (APM)